

1/21

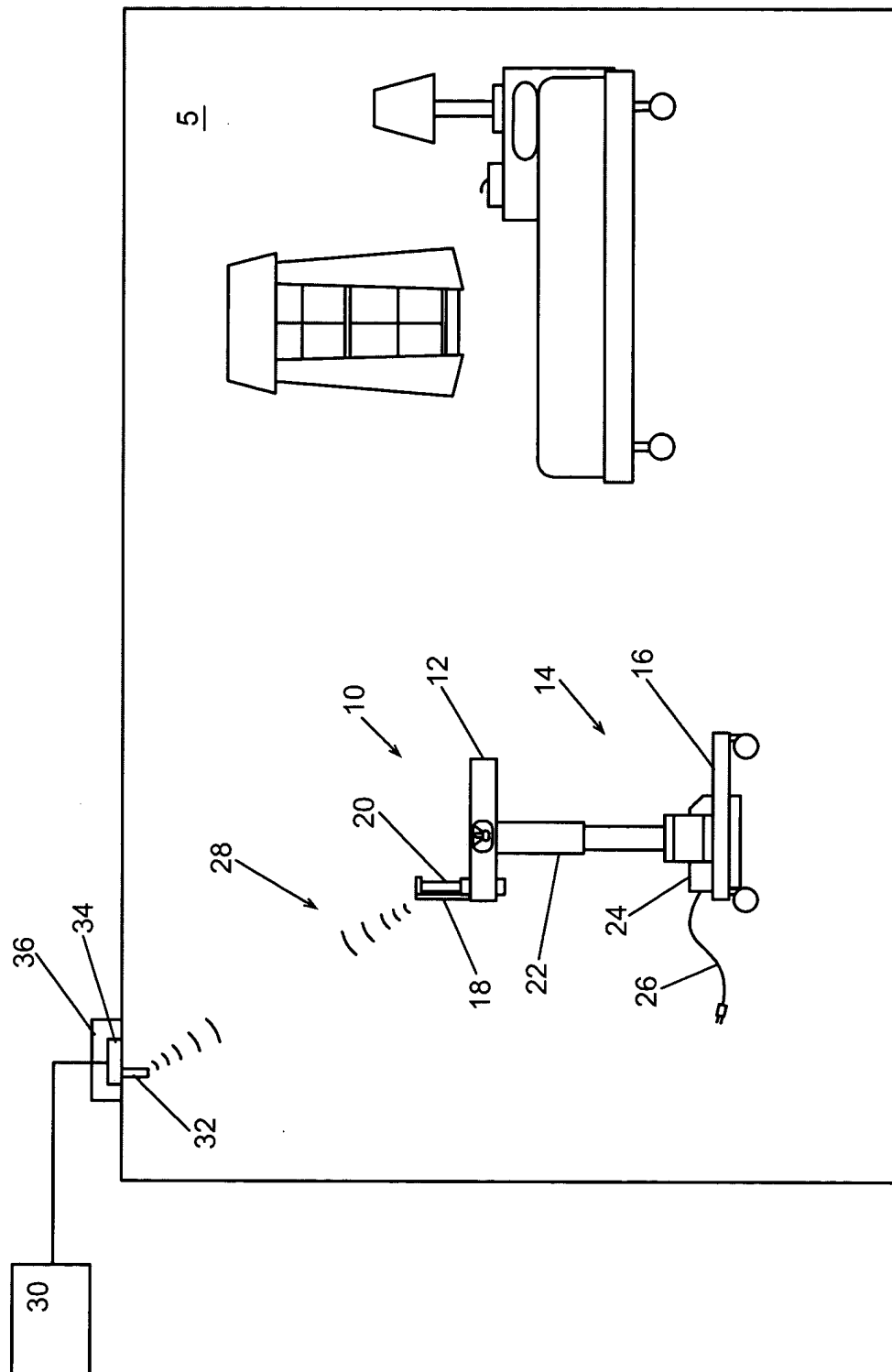


Fig. 1

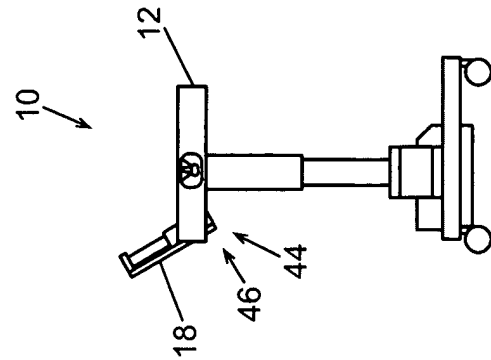


Fig. 2D

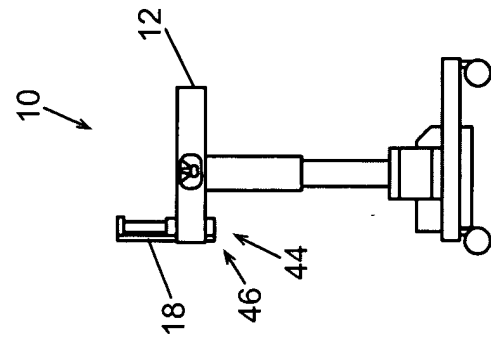


Fig. 1

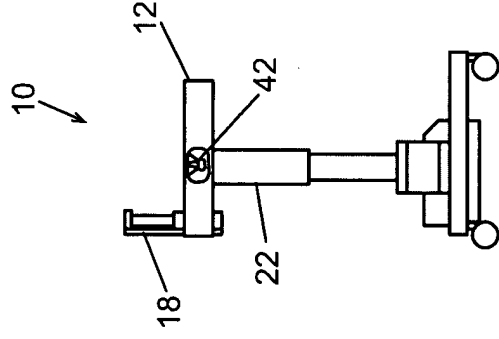
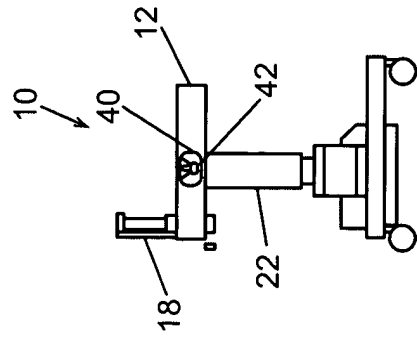


Fig. 2B



Hz · Gij

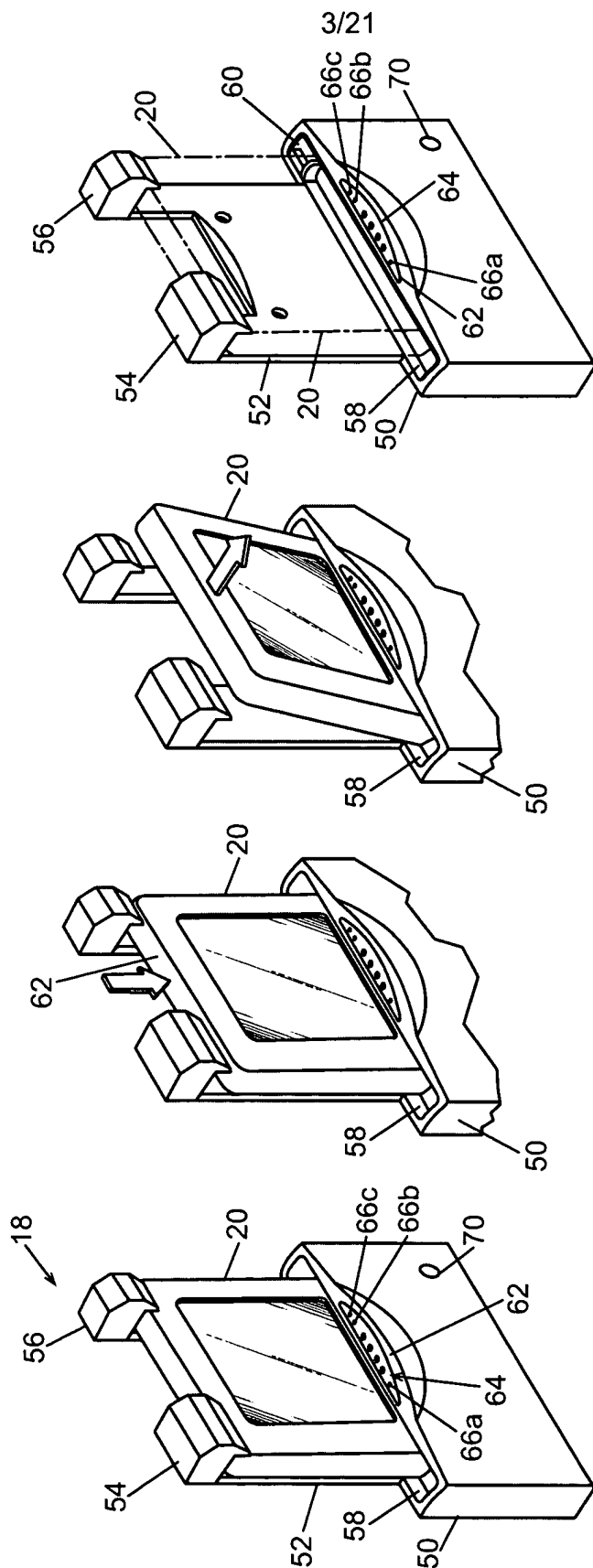
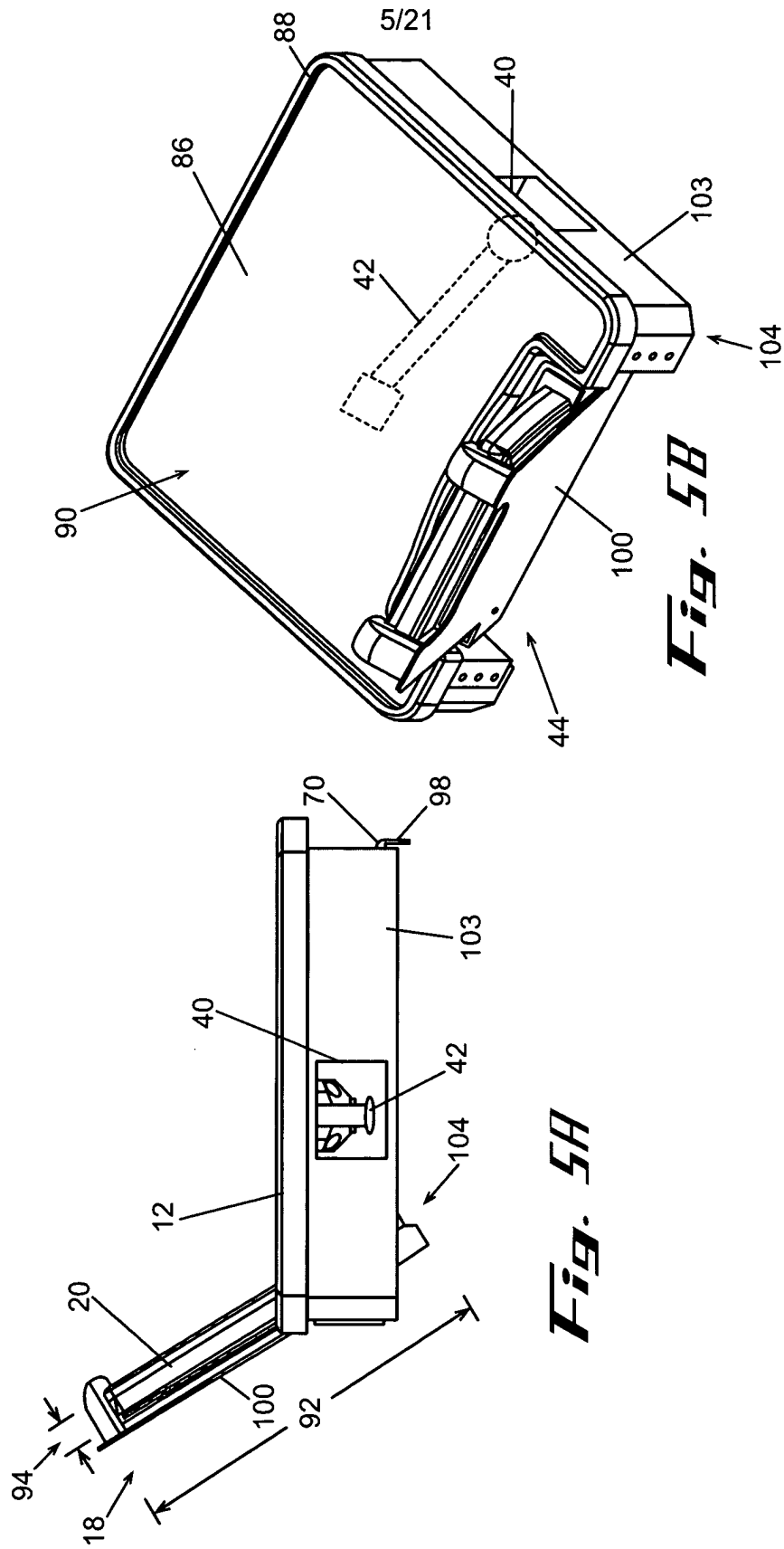


Fig. 3A

Fig. 3B

Fig. 3C

Fig. 4B



6/21

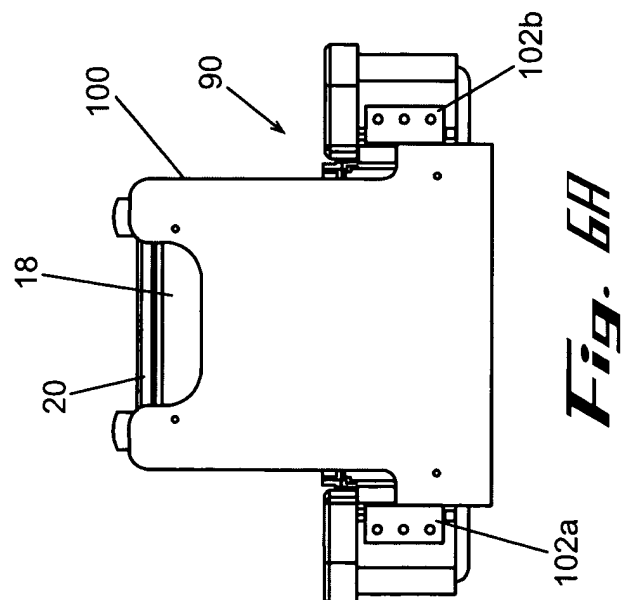
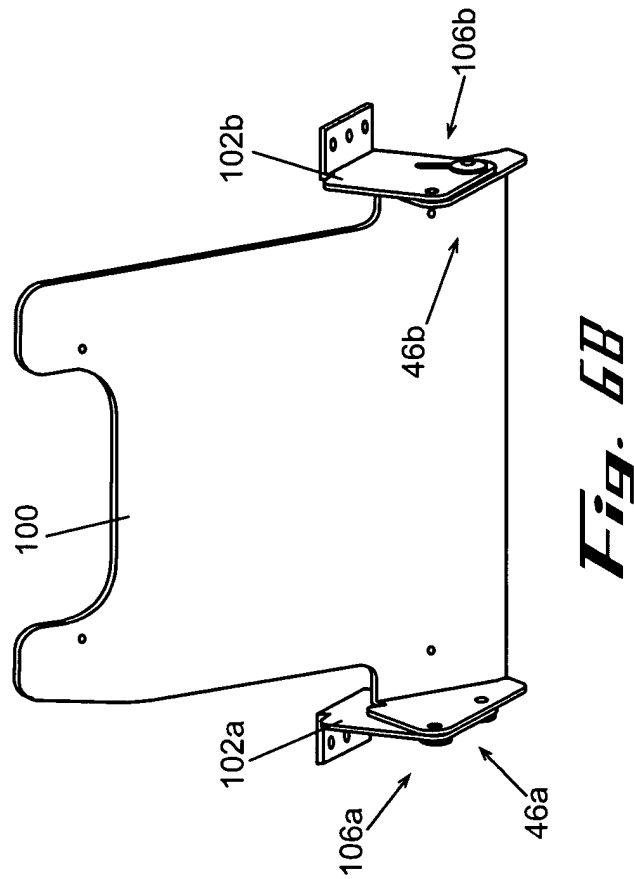


Fig. 7C

8/21

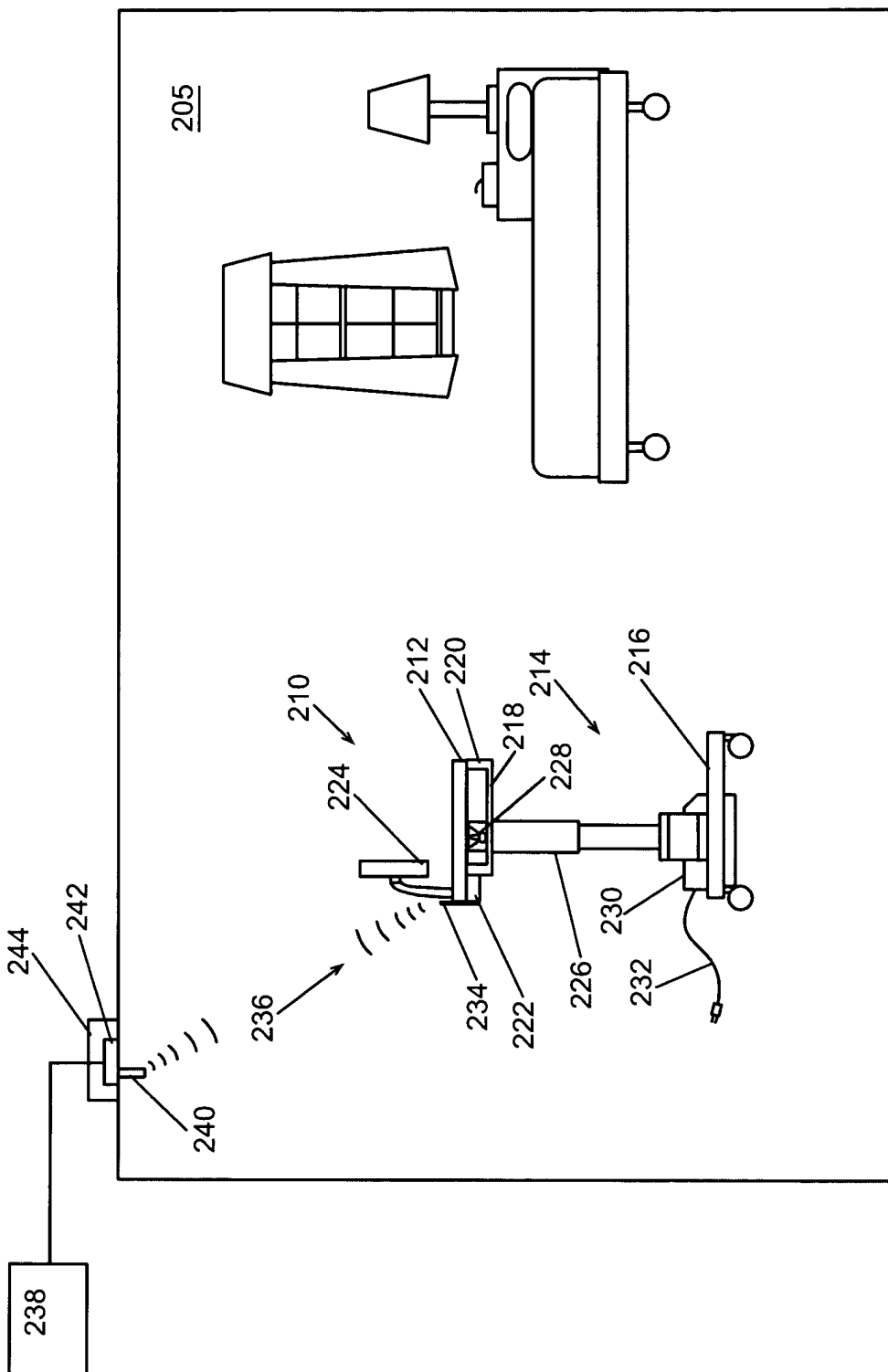


Fig. 8

9/21

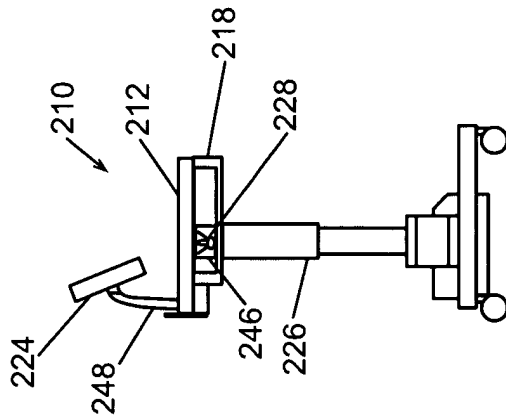


Fig. 9D

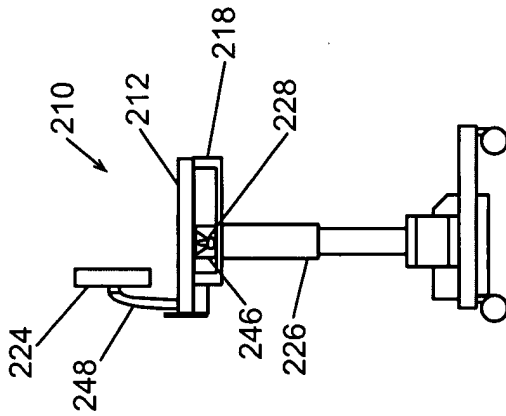


Fig. 9C

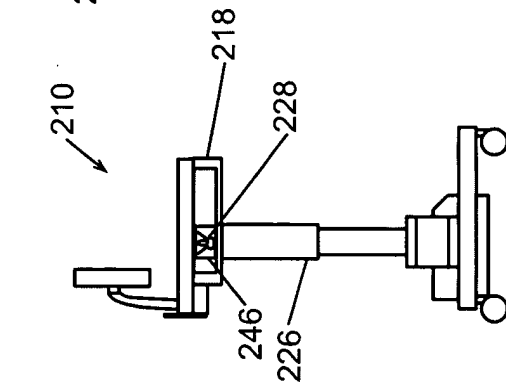


Fig. 9B

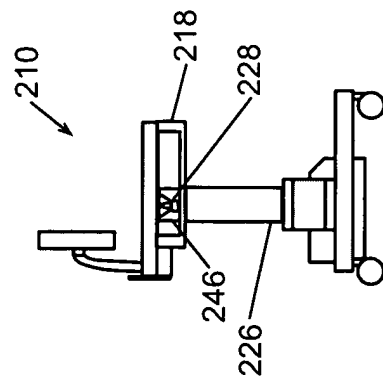


Fig. 9A

10/21

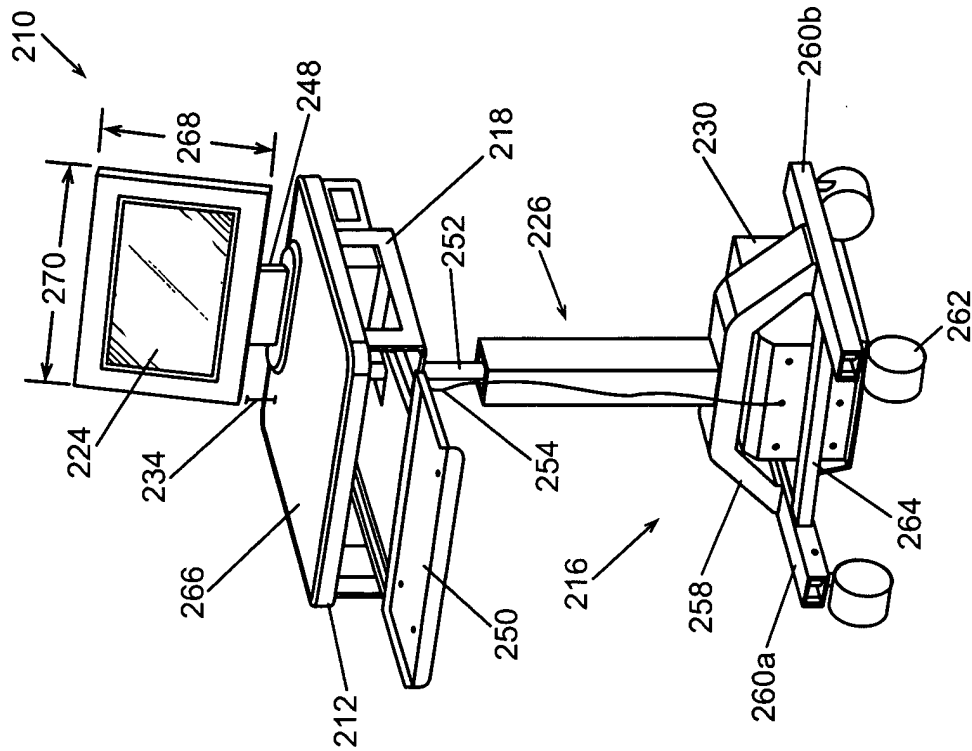


Fig. 10B

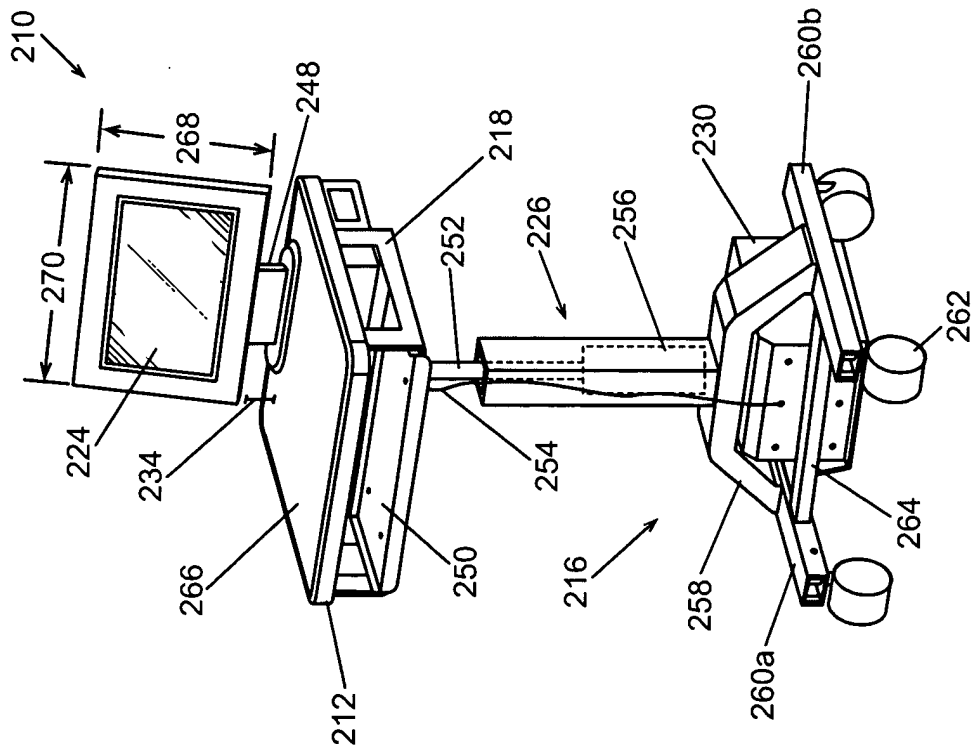


Fig. 10H

11/21

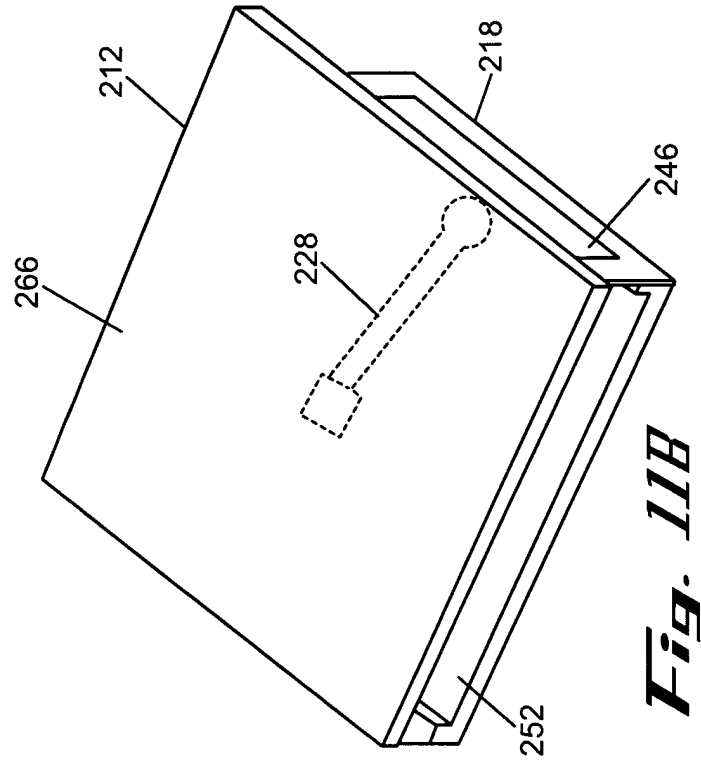


Fig. 11B

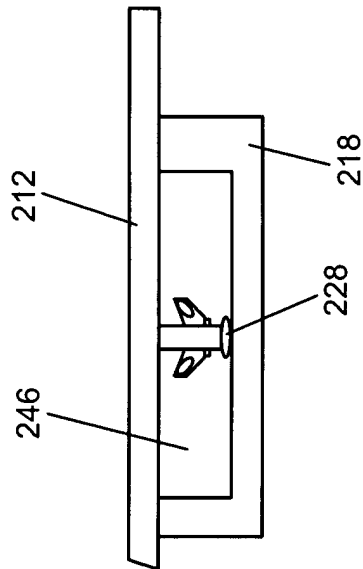


Fig. 11H



13/21

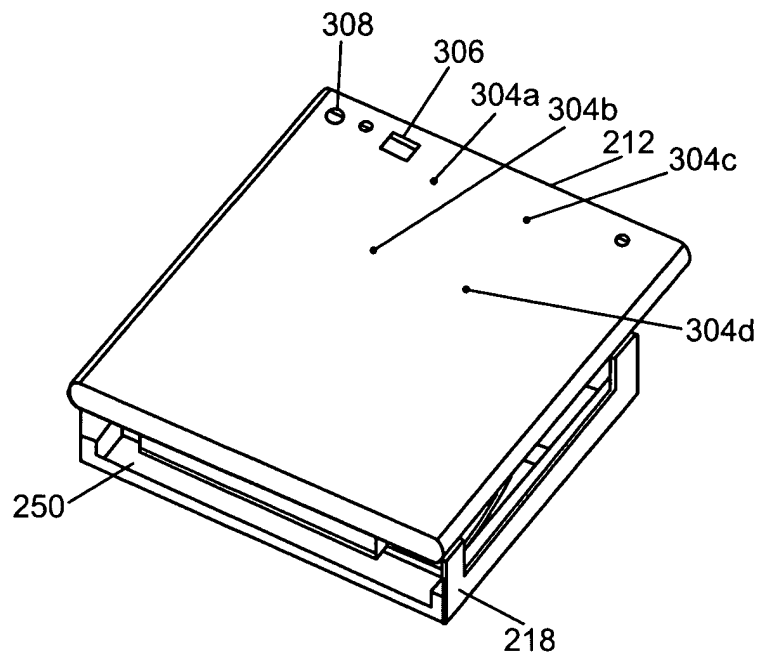


Fig. 13A

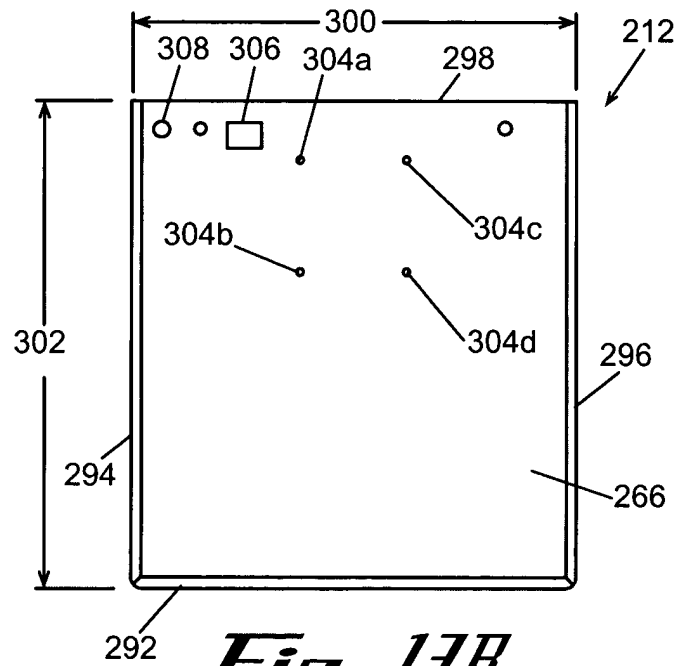


Fig. 13B

14/21

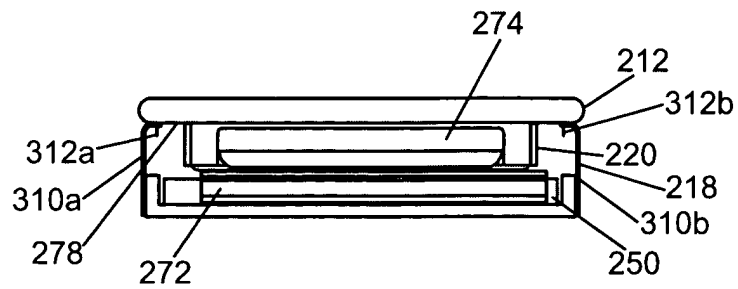


Fig. 13C

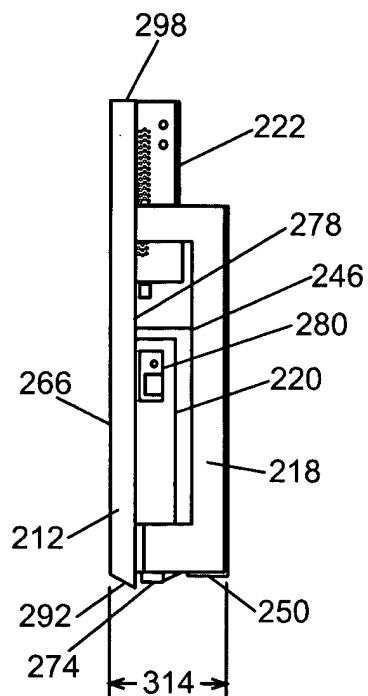
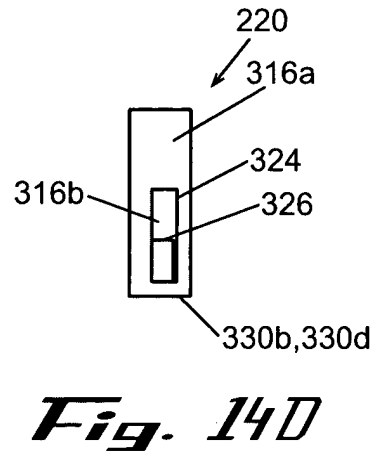
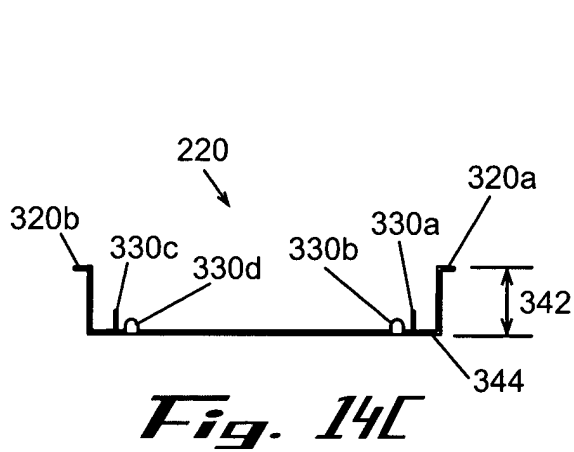
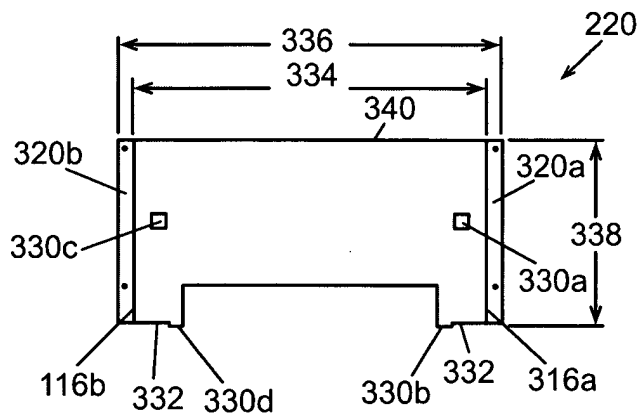
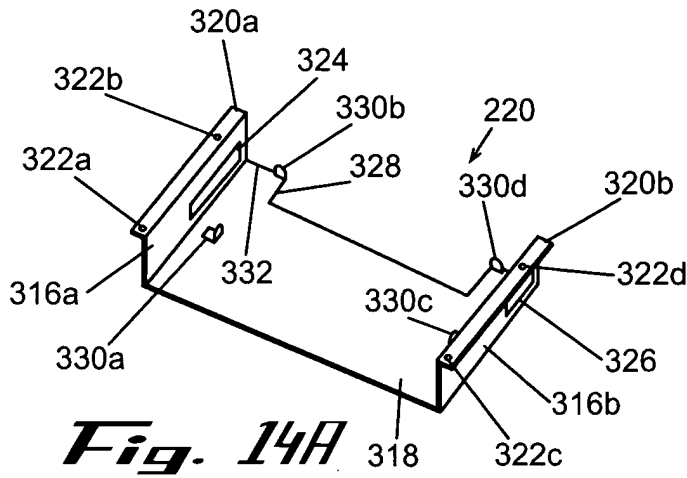


Fig. 13D

15/21



16/21

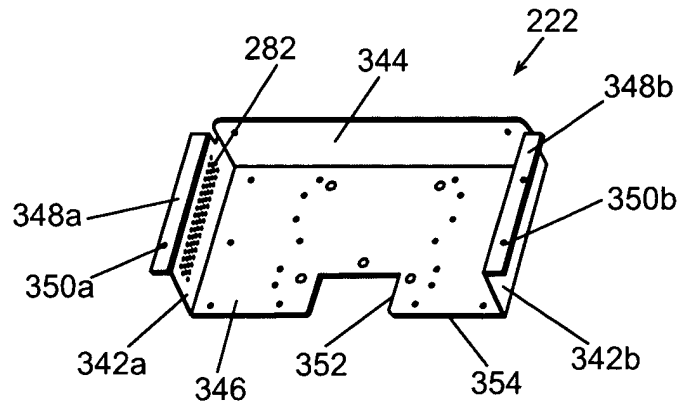


Fig. 15A

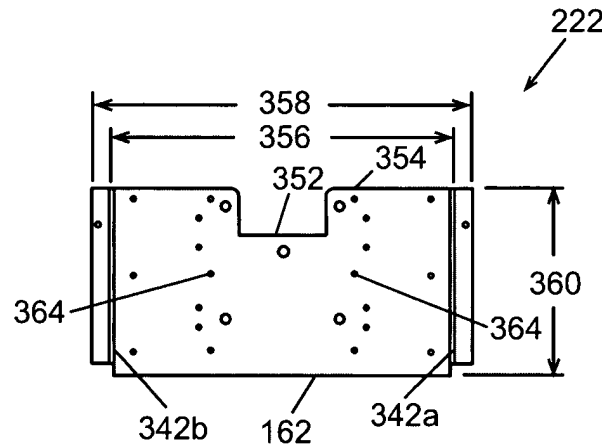


Fig. 15B

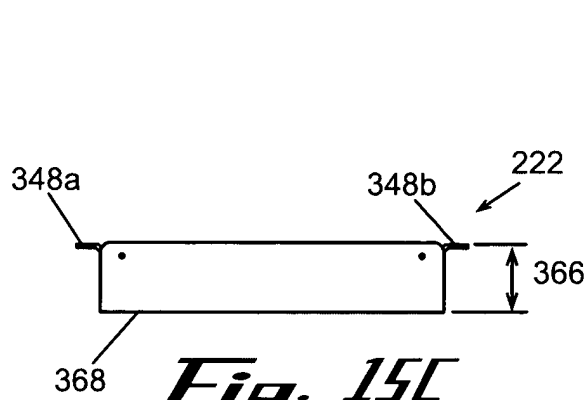


Fig. 15C

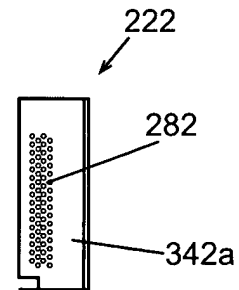


Fig. 15D

17/21

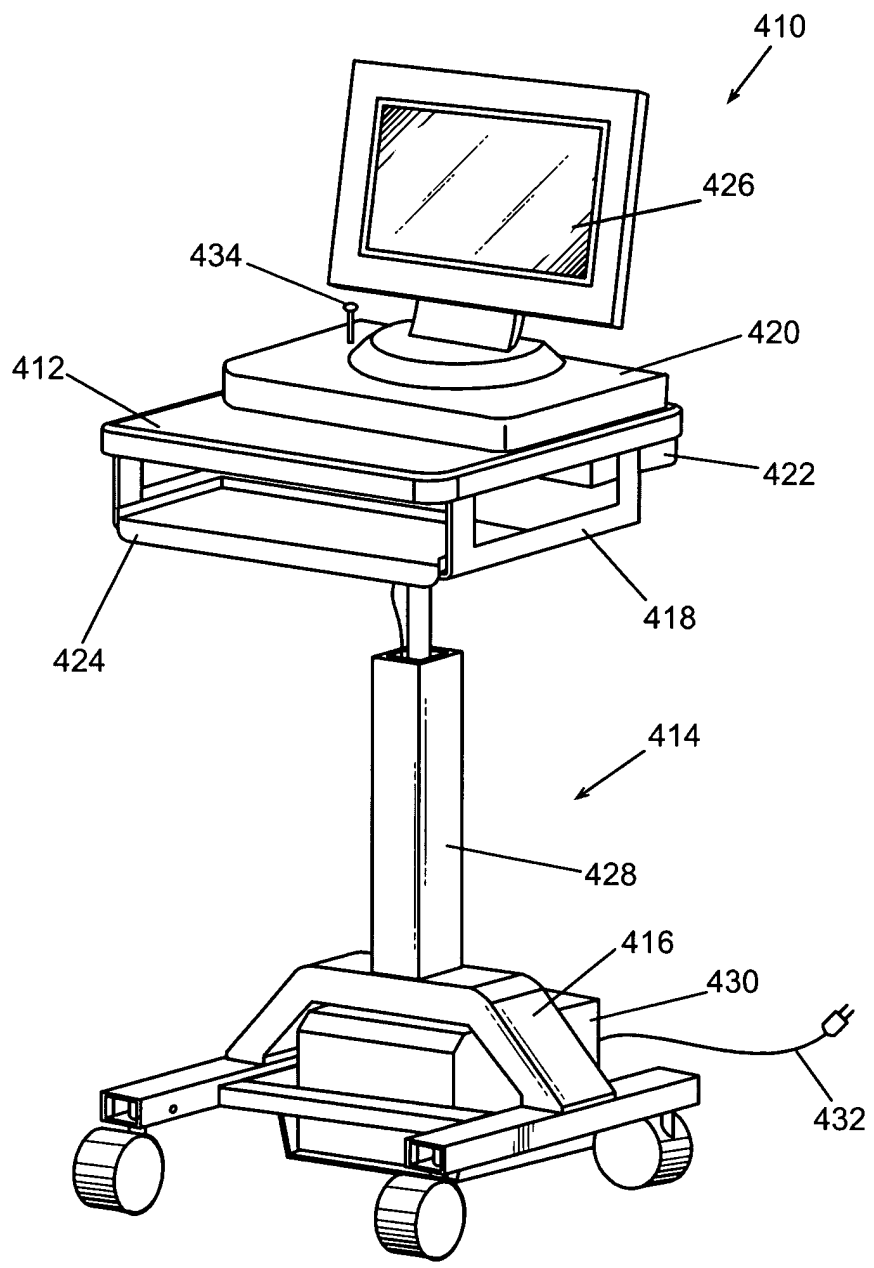


Fig. 16

18/21

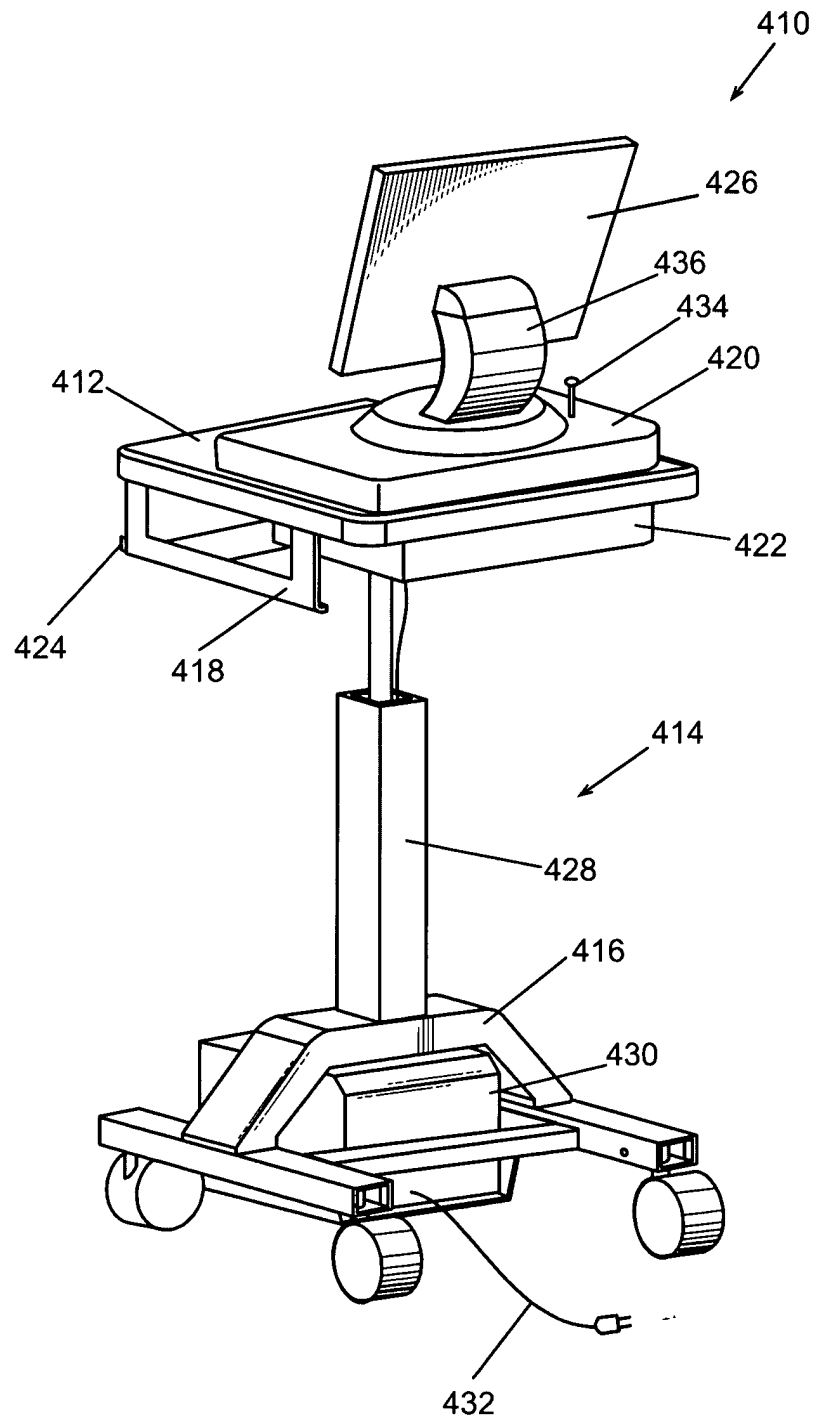


Fig. 11

19/21

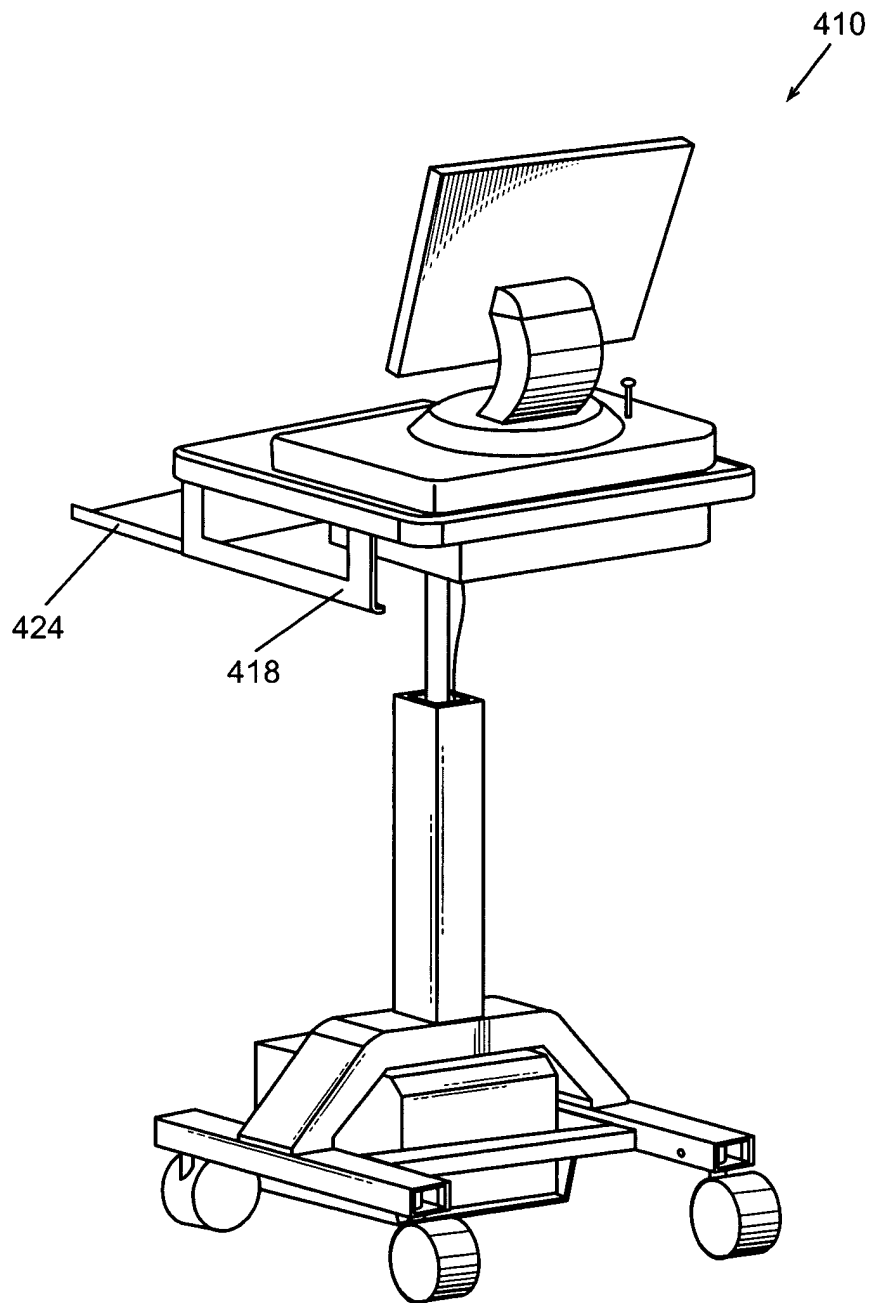


Fig. 18

20/21

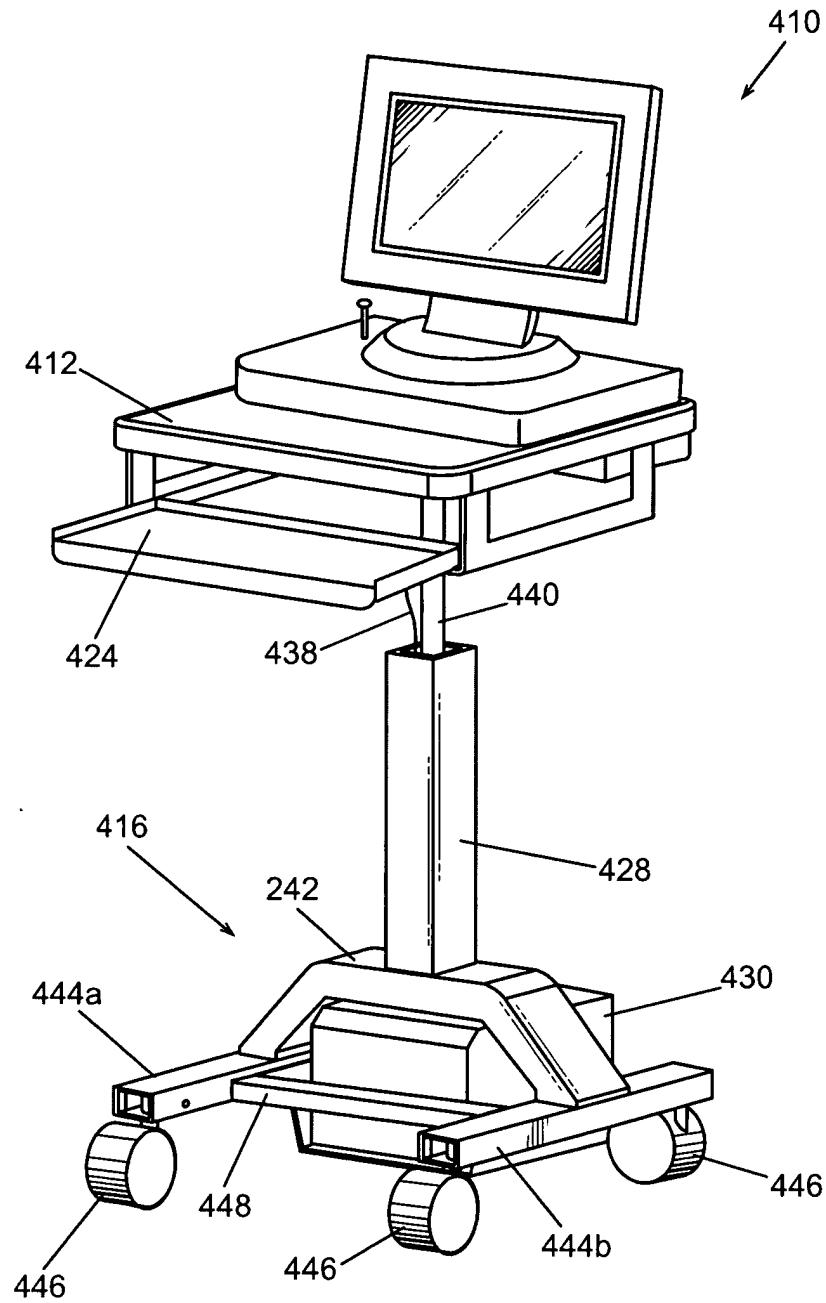


Fig. 19

21/21

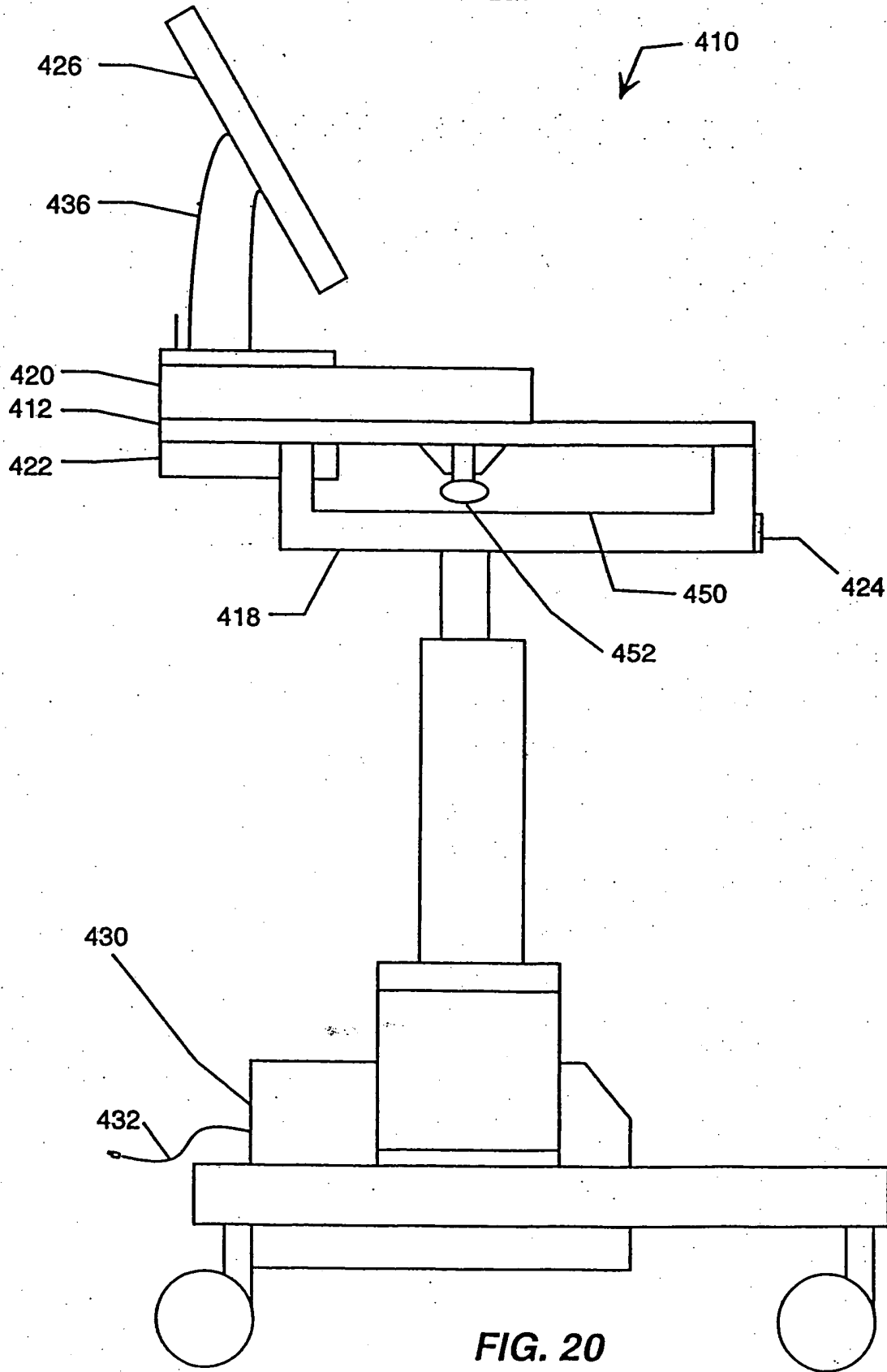


FIG. 20